

## 인지질(L- $\alpha$ -Phosphatidylinositol Sodium Salt) LB막의 전기화학적 특성에 관한 연구

박근호<sup>†</sup>

창원대학교 화공시스템공학과

### A Study on the Electrochemical Properties of Langmuir-Blodgett Film of Phospholipid(L- $\alpha$ -Phosphatidylinositol Sodium Salt)

Keun-Ho Park<sup>†</sup>

*Dept. of Chemical Engineering, Changwon National University,  
Changwon 641-773, Korea*

<sup>†</sup>*e-mail : khopark@changwon.ac.kr*

#### 1. 서론

Silicone과 같은 무기물을 주 소재로 한 반도체는 이미 그 한계점이 인식되고 있어 새로운 형태의 재료인 유기물을 이용하는 박막재료에 관한 연구가 시작되었다. 기존의 무기 재료로는 그 크기 및 가공 기술면에서 더 이상 집적밀도를 높이는 것은 큰 어려움을 느끼게 되었다[1]. 분자를 규칙적으로 배열 및 배향시켜 기능성을 갖게 하는 LB(Langmuir-Blodgett)법은 유기단분자의 구조제어가 비교적 간단해 최근 활발한 연구가 이루어지고 있다[2]. 분자내에 친수성기와 소수성기를 가지는 양친매성 유기화합물을 용매에 용해시켜 수면상에 전개시키면 용매는 휘발하고 수면위의 유기 단분자에 배리어로 적당한 압력을 가하면 기·액 계면에 존재하는 Langmuir(L)막을 형성한다[3]. LB법으로 제작된 유기초박막으로 메모리(memery)[4] 등 다양한 전자소자들에 실험적으로 사용되고 있다.

본 연구에서는 인지질을 LB법을 이용하여 LB단분자막을 제작하여 cyclic voltammetry (CV)법으로 측정하고 확산계수를 구하여 전기화학적 특성을 조사하였다.

#### 2. 실험방법

본 연구에 사용한 시약은 인지질 물질인 L- $\alpha$ -Phosphatidylinositol sodium salt은 Sigma Aldrich Chemical Co.(USA)에서 구입하여 그대로 사용하였다. 인지질의 분자구조는 탄소사슬을 가지고 있고 한쪽은 소수성기를 가지며, 다른 한쪽은 친수성기를 가진다. 또한, 물에 대해 불용성으로 수면상에 L막을 형성하고 LB막 제작이 가능하다. 용매로 사용한 클로로포름은 Sigma Aldrich Chemical Co.(USA)에서 제조된 특급시약을 사용하고, 메틸알코올은 덕산약품(국산)에서 제조된 시약을 사용하였다. 트러프 세척에 사용된 시약은

로는 동양화학(국산)의 *N,N*-dimethylformamide(DMF) 1급 시약과 덕산약품(국산)의 아세톤 1급 시약 및 이소프로필알코올 1급 시약을 정제하지 않고, 그대로 사용하였다.

실험에 사용한 LB제막장치는 영국에서 제작된 NIMA Technology Langmuir-Blodgett Trough 611을 사용하였다. 단일 베리어(single barrier)를 갖춘 장치로 제막이 용이하며 표면압 센서가 부착된 트러프에 초순수를 채운 후, 기수 계면에 각각의 알킬 화합물을 수면 상에 전개시킨다. 20분간 방치하여 용매를 휘발시킨 후 베리어를 80~120 mm/min의 속도로 3회 압축 및 확장을 통하여 제막 압력을 결정하였다. 그리고, LB초박막을 제막하기 위하여 먼저 시료를 전개하기 전에 친수 처리된 ITO기판을 수면 속으로 침적시켜둔다. 시료의 전개 후 용매를 모두 휘발시킨뒤, 각각 시료의 적정표면 압력 하에서 디퍼를 상승시켜 Y-type의 LB 초박막을 제막하였다. 이후, 막의 건조를 위하여 공기 중에서 60분간 건조시킨다. 그리고, 전기화학적 특성을 조사하기 위해 EG&G Princeton Applied Research사의 Potentiostat/Galvanostat Model 273A를 사용하였다.

### 3. 결과 및 고찰

#### 3.1. $\pi$ -A 등온선

Fig. 1은 LAPS 표면압 등온선이다. 100  $\mu$ L에서는 약 65  $\text{\AA}^2$ 에서 표면압의 변화가 나타나기 시작하여 액체막과 고체막의 거동을 보인 후, 40  $\text{\AA}^2$ 근처에서 붕괴압을 볼 수 있다. 300  $\mu$ L 와 500  $\mu$ L, 900  $\mu$ L에서는 표면압이 약간 꺾어졌다가 다시 증가하는 것을 볼 수 있는데 이는 수면 상에 전개된 분자들이 응집되었다가 다시 배열되면서 표면압이 올라가는 것으로 보인다. 제막압력은 100  $\mu$ L에서 20 mN/m로 결정 하였다. 인지질을 이용한 표면압 등온선은 기체막, 액체막, 고체막 순으로 나타난다. 수면 상에 전개한 양이 많아질수록 기체막 단계 없이 액체막, 고체막으로 나타나기도 하며, 분자당 차지하는 면적이 작아질수록 표면압은 증가하였다.

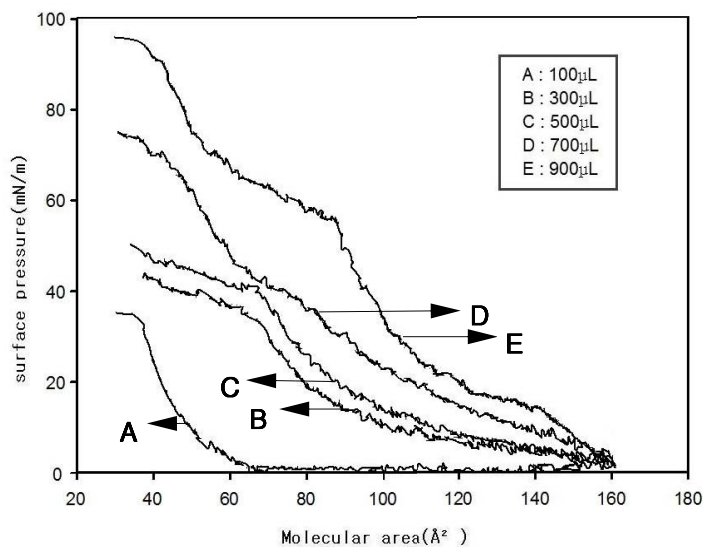


Fig. 1  $\pi$ -A Isotherm curves for LAPS.

### 3.2. LB막의 전기화학적 특성

Fig. 2는 주사속도 100 mV/s에서 전해질  $\text{KClO}_4$ 의 농도변화에 따른 LAPS의 LB막을 전해질 농도에 따른 순환전압전류곡선으로 나타내었다. Fig. 2에서 비가역적인 산화전류가 나타남을 볼 수 있으며, 전해질  $\text{KClO}_4$ 의 농도를 주사속도 100 mV/s에서 0.01 N부터 0.2 N 까지 변화를 주었다. 전해질 농도가 증가함에 따라 산화 전류는 각각  $1.78 \times 10^{-4} \mu\text{A}$ ,  $3.11 \times 10^{-4} \mu\text{A}$ ,  $4.87 \times 10^{-4} \mu\text{A}$ ,  $4.91 \times 10^{-4} \mu\text{A}$ , 및  $5.1 \times 10^{-4} \mu\text{A}$ 로 전류값이 증가했으며, 오른쪽으로 점차 이동하는 것을 볼 수 있다.

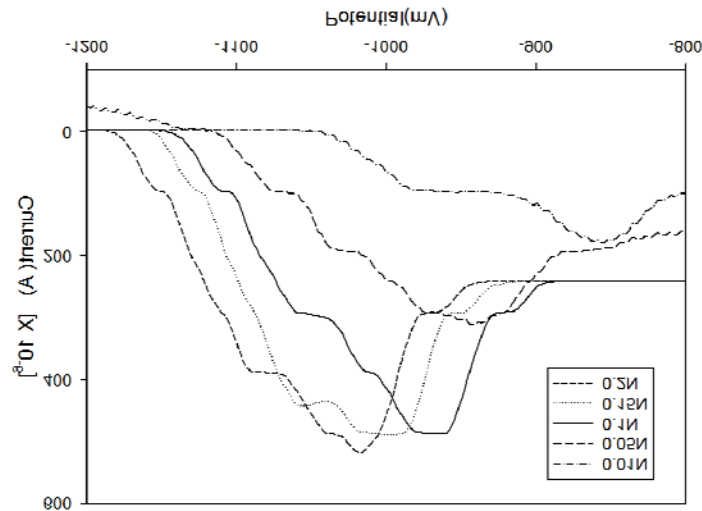


Fig. 2 Cyclic voltammogram of LB film of LAPS monolayer onto ITO glass at a various concentration of  $\text{KClO}_4$  solution. The scan rate was 100mV/s.

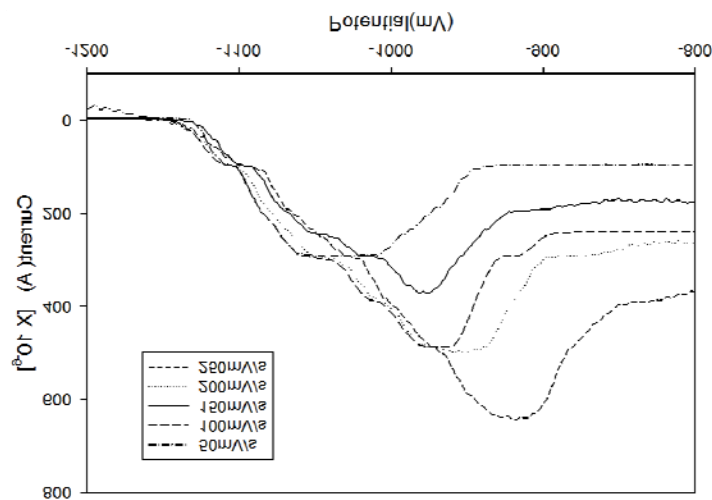


Fig. 3 CV of LB film of LAPS monolayer onto ITO glass electrode in 0.1N  $\text{KClO}_4$  solution.

Fig. 3은 주사속도에 따른 순환전압전류 곡선이다.  $\text{KClO}_4$  전해질은 0.1 N로 고정하고, 주사속도를 50 mV/s, 100 mV/s, 150 mV/s, 200 mV/s, 및 250mV/s로 변화하면서 측정하였다. 주사속도 변화에 따라 산화전류는  $2.90 \times 10^{-4} \mu\text{A}$ ,  $3.72 \times 10^{-4} \mu\text{A}$ ,  $4.86 \times 10^{-4} \mu\text{A}$ ,  $4.99 \times 10^{-4} \mu\text{A}$ , 및  $6.38 \times 10^{-4} \mu\text{A}$  순으로 증가함을 볼 수 있다. 주사속도를 50, 100, 150,

200 및 250 mV/s로 증가시킴에 따라 임계산화전류가 증가하는 것을 볼 수 있으며, 주사 속도를 증가시키면 피크는 오른쪽으로 이동함을 볼 수 있는데, 이러한 현상은 강제전류의 증가로 인한 인지질 LB 초박막을 통과하는  $K^+$ 이온이 점차로 증가되는 현상으로 생각된다.

이와 같이 인지질 LAPS를 이용한 LB막의 전기화학적 특성은 비가역적 산화반응임을 알 수 있었다.  $|E_p - E_{p/2}| = (1.857RT/\alpha n_a F) = (47.7/\alpha n_a)(1)$ 식에 의해 비가역적인 산화반응의 전류  $i$ 는 구할 수 있다. 그리고 곡선의 극대값을 가지는  $X_{irrev} = 0.4958$ 로 가정하면 피크전류는  $i_p^{irrev} = 299(\alpha n_a)^{1/2} AD_0^{1/2} v^{1/2} C_0^*$  이다. 여기서,  $\alpha n_a$ 는 식(1)로 구할 수 있으며,  $i_p$ 를 주사속도  $v^{1/2}$ 에 대해 plot 하여 나온 기울기 값을  $299(\alpha n_a)^{1/2} AD_0^{1/2} v^{1/2} C_0^*$ 를 이용하여 확산계수( $D$ )를 구하였다. LPSS의 확산 계수를 구한 결과 전해질농도 0.01 N, 0.05 N, 0.1 N, 0.15 N 및 0.2 N에서 확산계수( $D$ )는 각각 440, 13.8, 3.59, 1.10 및 1.05 [ $cm^2 s^{-1} \times 10^9$ ] 순으로 얻어졌다.

#### 4. 결론

수면 상에 인지질(LAPS)을 사용하여 Langmuir 막을 전개시켜, 그 표면압을 측정하고, LB막을 제작하였다. 전기적특성을 조사한 결과 다음과 같은 결론을 얻었다.

1. 인지질용액은 분자당 점유면적이 작아질수록 표면압이 증가하였으며, LB 단분자막은 비가역적 공정한 산화반응만 나타내는 전기화학적 특성을 나타내었다.
2. 순환 전류전압법에서 전해질 농도가 증가함에 따라 전자 전달체가 증가하여 임계 산화 전류 값도 더 높았다. 본 연구의 범위 내에서 LB막은 전해질 농도가 증가하면, 확산계수( $D$ )는 감소하므로 농도에 반비례함을 알 수 있다.

#### 참고문헌

1. M. C. Petty, "Langmuir-Blodgett films: An introduction", Cambridge University Press, UK, P.153 (1996).
2. T. H. Imura, H. K. Sakai, H. S. Yamakuchi, K. Z. Kozawa, S. K. Yokoyama, M. Y. Matsumoto, and M. H. Abe, Atomic Force Microscopic Study on the Surface Properties of Phospholipid Monolayers Containing Ceramide 3, *Colloids and Surfaces B: Biointerfaces*, **19**, 81 (2000).
3. K. H. Park and S. Lee, Characteristics of Ultrathin Film Prepared through Nano-Sized Langmuir Blodgett Monolayer of Functionalized Polyimide, *J. Kor.. Oil Chem. Soc.*, **26(2)**, 224 (2009).
4. S. Paul, C. Pearson, A. Molloy, M. A. Cousins, M. Green, S. Kollipoulou, P. Dimitrakis, P. Normand, D. Tsoukalas, and M. C. Petty, Langmuir-Blodgett Film Deposition of Metallic Nanoparticles and Their Application to Electronic Memory Structures, *Nano Letters*, **3(4)**, 533 (2003).